- tis and Hepatocellular Carcinoma [J]. Hepatogastroenterology, 1999,46(26).646-650.
- [4] Yamamoto T, Hirohashi K, Kaneda K, et al. Relationship of the Microvascular Type to the Tumor Size, Arterialization and Dedifferentiation of Human Hepatocellular Carcinoma[J]. Jap J Cancer Res. 2001. 92(11):1207-1213
- [5] Tanigawa N, Lu C, Mitsui T, et al. Quantitation of Sinusoid-like Vessels in Hepatocellular Carcinoma; its Clinical and Prognostic Significance [1], Hepatology, 1997, 26(5), 1216-1223.
- [6] Nakashima Y, Nakashima O, Hsia CC, et al. Vascularization of Small Hepatocellular Carcinomas: Crrelation with Differentiation [17]. Liver. 1999. 19(1):12-18.
- [7] 陆建平,王涛,王一,等.组织芯片技术研究肝脏良恶性病变细胞增殖活性和微血管密度的差异[J].第二军医大学学报,2003,24 (1):70-72.
- [8] Toyoda H, Fukuda Y, Hayakawa T, et al. Changes in Blood Supply in Small Hepatocellular Carcinoma; Correlation of Angiographic Images and Immunohistochemical Findings[]]. J Hepatol,

- 1997,27(4):654-660.
- [9] Shimizu J,Oka H,Dono K,et al. Noninvasive Quantitative Measurement of Tissue Blood Flow in Hepatocellular Carcinoma Using Xenon-enhanced Computed tomography[J]. Dig Dis Sci,2003,48 (8):1510-1516.
- [10] Schlemmer HP, Merkle J, Grobholz R, et al. Can Pre-operative Contrast-enhanced Dynamic MR Imaging for Prostate Cancer Predict Microvessel Density in Prostatectomy Specimens? [J]. Eur Radiol. 2004.14(2):309-317.
- [11] Su MY, Cheung YC, Fruehauf JP, et al. Correlation of Dynamic Contrast Enhancement MRI Parameters with Microvessel Density and VEGF for Assessment of Angiogenesis in Breast Cancer[J]. J Magn Reson Imaging, 2003, 18(4):467-477.
- [12] Chen WX, Min PQ, Song B, et al. Single-level Dynamic Spiral CT of Hepatocellular Carcinoma; Correlation between Imaging Features and Density of Tumor Microvessels[J]. World J Gastroenterol, 2004, 10(1):67-72.

(收稿日期:2006-03-03 修回日期:2006-07-12)

• 病例报道 •

气管粘液样瘤一例

高峰,王定福,刘庆龙

【中图分类号】R814.42; R734.1 【文献标识码】D 【文章编号】1000-0313(2007)06-0590-01

病例资料 患者,男,58岁。3个月前无明显诱因出现干咳,咳白色泡沫痰,有时痰中带血,自觉气短,咽喉部有异物感,无发热,消瘦,盗汗等症状。查体:双肺呼吸音稍粗,可闻及喘鸣音。

胸部 X 线: 气管隆突上方约 3.0 cm 处显示一大小约 1.8 cm×2.5 cm 肿块影, 密度较均匀,边缘不甚清晰。胸部 CT 平扫示肿块密度均匀,CT 值 33 HU,其上方可见一长约 0.8 cm 的蒂,同气管后壁相连,其底部较窄,邻近管壁无增厚,纵隔未见肿大淋巴结及积气等征象,双肺无异常改变(图 1)。纤维支气管镜检查发现声门下方 5 cm 处显示一新生物,表面较光滑,隆突上方 3.0 cm 处可见肿块下部。未取活组织检查。

手术所见:肿瘤瘤体位于气管隆突上方约 4.0 cm 处,由大约直径 2.0 cm 和 2.5 cm两个相连的球形软组织块影组成,呈哑铃状,表面光滑,质地较软,有一长约 0.8 cm蒂附着于气管后壁软骨环与膜部交

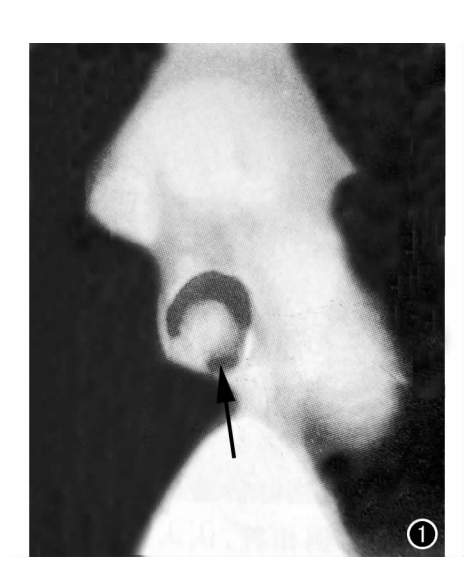


图1 CT 平扫示气管隆突上方约 $3 \text{ cm} \& 0.8 \text{ cm} \times 2.5 \text{ cm}$ 肿块影,密度均匀,边缘 尚光滑,与气管壁有长约 0.8 cm 的蒂相 连(箭)。

界处。术后病理诊断:气管黏液样瘤。

讨论 气管肿瘤很少见,而良性气管肿瘤更为罕见。气管粘液样瘤更是一种极其罕见的气管良性肿瘤,发生于成年人,在气管中上1/3 范围内,起源于气管膜部粘膜下,直径一般小于 3.0 cm,有完整的包膜,并通常有蒂状物同气管壁相连。影像学表现:肿瘤轮廓光滑,其内密度均匀一致[1]。与恶性肿瘤的主要鉴别点是肿瘤的范围是否超过了 4.0 cm,肿瘤相邻的气管壁厚度是否超过了 0.5 cm,管壁规则与否,邻近纵隔淋巴结是否肿大等[2]。本例患者 CT 所见瘤体密度均匀一致,轮廓尚光整,有包膜包绕,带蒂,邻近气管壁未见增厚,纵隔未见肿大之淋巴结等,均符合气管良性肿瘤的表现。

参考文献:

- [1] 刘国彦,李梦赞. 气管平滑肌瘤 1 例[J]. 中华外科学杂志,2004,23(2):1443.
- [2] 周康荣. 胸部颈面部 CT[M]. 上海: 上海 医科大学出版社, 1996, 162-165.

(收稿日期:2006-08-10 修回日期:2006-10-16)

作者单位: 442000 湖北,十堰市妇幼保健院放射科 作者简介:高峰(1971一),男,湖北枣阳人,主治医师,主要从事放射诊断工作。